



Respuesta de Frecuencia de Prueba Inalámbrica

Obtener una señal limpia y precisa de los probadores electrónicos a la unidad siendo probada es critico para pruebas de alta velocidad. Alambrado de fixtures pueden ser un contribuidor mayor de distorsión y ruido en la ruta de transmisión de la señal. Para mejor entender las posibilidades de fixtures inalámbricas, QA Technology examino el desempeño de alta frecuencia de bases inalámbricas y bases de terminación y sondas.

QA uso un analizadores de red para medir las características de respuesta de frecuencia de una variedad amplia de configuraciones de sondas. Pruebas iniciales de las bases inalámbricas utilizaron un analizador de redes de RF, cubriendo un rango de frecuencia de 300KHz a 3 GHz. Pruebas subsecuentes usaron un analizador de redes de microondas cubriendo un rango de frecuencia de 50MHz a 20 GHz. Para consistencia, graficas de las pruebas mas recientes extrapolaron data debajo de 50MHz y omitieron data arriba de 10GHz. QA uso un osciloscopio TDR para observar la impedancia de la ruta de la sea a través de la fixture de prueba y obtuvo la información de impedancia del dominio del tiempo usando la opción de transformación de dicho dominio del tiempo en el analizador de micro ondas.

Procedimiento de Prueba

Fixture de prueba se construyeron para productos de bases inalámbricas de 100, 75, 50, y 38 mil. Estas fixtures contenían una base para montaje de bases de 0.250 [6.35] G10, plato de separación de bases de 0.062 [1.57] G10, y dos tarjetas de interface eléctrico atados a la base de montaje de bases con soportes no conductores. Fixture para pines de terminación inalámbricos de X75, X50, X39, y X31 se construyeron con platos G10 múltiples sumando 1.562 [39.67] y empalmados entre dos tarjetas de interface eléctricos. En todas las fixtures, las tarjetas de interfase eléctricas fueron proveídos con conectores SMA para que el equipo de prueba y guías de cobre contactaran las diferentes configuraciones de sonda/base. Configuraciones incluyeron diferente espacios de centro para las sondas de tierra y señal, múltiple sondas de tierra, y arreglos para medir la interferencia de cruce donde pares de sondas fueron "impulsadas" y el "robo de señal" fue medida en pares adyacentes.

Resultados

Las siguientes graficas estudian el desempeño de las sondas de X75. Data comparativa para los otros pares inalámbricos enseguida.

Figura 1 muestra la respuesta de frecuencia de dos sondas X75 en centros de 1.00 [25.4]. esto puede ser representativo de la separación de la sonda de señal y la sonda de tierra en un IC. Note la banda ancha por debajo de 100MHz. Esta respuesta es dominada por la separación entre la sonda de señal y la de tierra. Muestras graficas para la otras familias de sondas inalámbricas probadas en centros de 1.00 [2.54] tienen un desempeño muy similar. En la Figura 2, las sondas están en sus centros nominales de 0.075 [1.91]. En estos centros mas cercanos, una respuesta de frecuencia de -1dB a mas de 400MHz es obtenida. Esa mejora es el resultado de que las sondas con espacios mas cortos proveen una mejor partido para la impedancia de las pruebas de 50 Ohm.

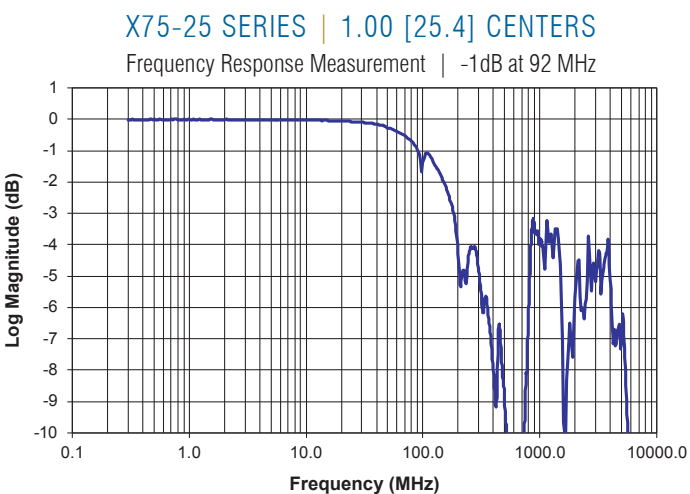


Figure 1: Frequency response of two 0.075 [1.91] wireless X Probes (signal and ground) on 1.00 [25.4] centers.

La opción TDR del analizador de red de micro onda permite la medición de impedancia de una línea de transmisión en cualquier punto de su longitud. La Figura 3 muestra la impedancia de dos 0.075 [1.91] QA X Probes® inalámbricas el centros de 0.075 [1.91]. En esta grafica de TDR, la señal transmitida tiene un tiempo efectivo de ascension de 50 picosegundos, lo cual se traduce en una frecuencia de prueba de 7GHz. Los extremos de impedancia se exageran por la alta banda ancha de la medición; a frecuencias bajas, las diferencias de impedancias serian menos aparentes. Estas medidas de alta frecuencia muestran tres distintas regiones físicas: el pin de terminación, la transición del pin de terminación de la sonda X, y la sonda X. Estos cambios en la impedancia son causados por los diferentes diámetros de los pines de terminación y las sondas, así como las tolerancias de perforación que las rodean. La naturaleza del material dieléctrico separando las sondas también juega un rol critico al determinar las características de impedancia de la línea de transmisión.

La Figure 4 muestra el desempeño de una configuración en-linea de tres sondas con centros 0.075 [1.91] con la sonda de señal posicionada entre dos tierras. Aunque esta configuración pudiera no siempre ser practica, su desempeño desde -1dB hasta mas de 1400 MHz es excelente. La Figura 5 muestra la grafica de TDR correspondiente para la misma configuración de tres sondas.

Difonía en una fixture convencional es una función compleja con muchas variables: las características de las señales de puebas, la longitud y tipo de alambre usado, como el alambre es (o no) revestido, y las locaciones relativas de las mismas sondas.

Problemas de alambrado son la razón de la existencia de soluciones de prueba inalámbricas. Remplazar el alambrado en una fixture con una tarjeta traductora provee un ambiente mas repetible y controlable para la guía de señales de prueba entre la unidad a probarse (UUT) y los instrumentos de prueba electrónicos.

Las señales de prueba y locaciones de las sondas son dictadas por las necesidades de la UUT. Para propósito de referencia, una grafica de la diafonía entre dos pares X Probes inalámbricos de 0.075 [1.91] en centros de 0.075 [1.91] se muestran en la Figure 6.

X75-25 SERIES | 0.075 [1.91] CENTERS

Frequency Response Measurement | -1dB at 435 MHz

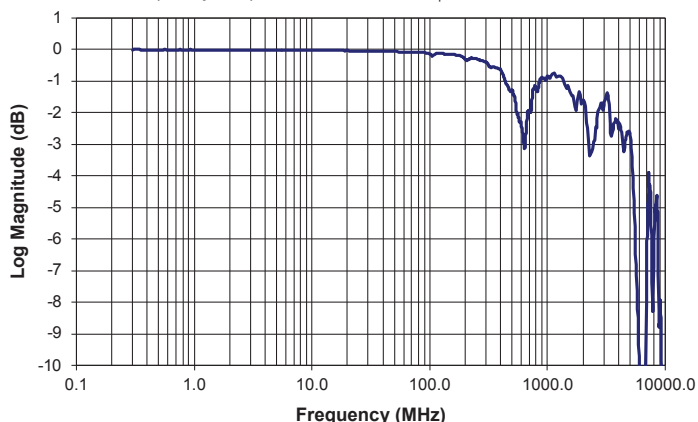


Figure 2: Frequency response of two 0.075 [1.91] wireless X Probes (signal and ground) on 0.075 [1.91] centers.

X75-25 SERIES | 0.075 [1.91] CENTERS

TDR Measurement

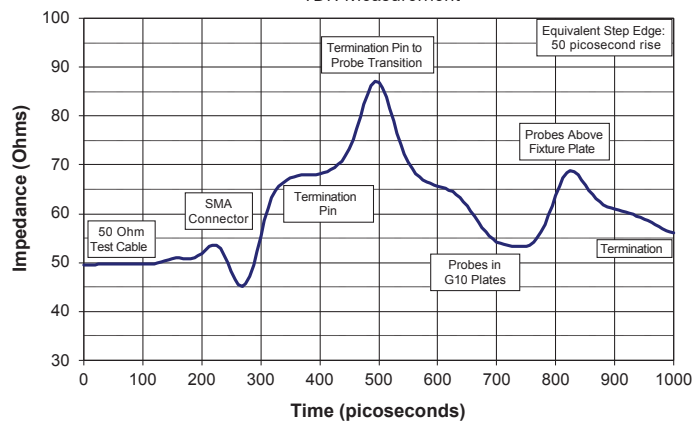


Figure 3: Impedance of the transmission line created by two 0.075 [1.91] wireless X Probes (signal and ground) on 0.075 [1.91] centers. Note: the 50 picosecond equivalent rise time equates to an effective test frequency of 7 GHz.

X75-25 SERIES | 0.075 [1.91] X 3

Frequency Response Measurement | -1dB at 1450 MHz

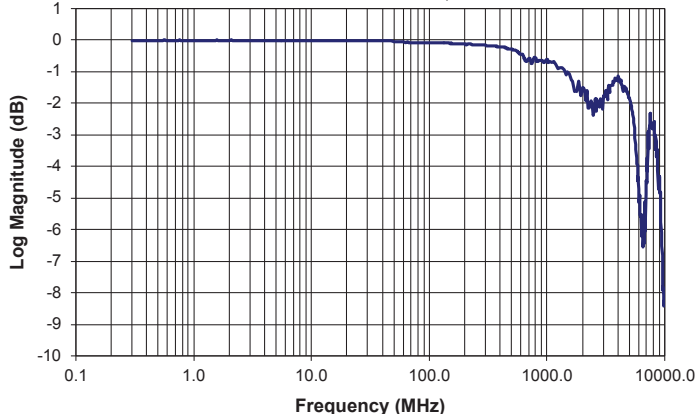


Figure 4: For a three-probe configuration (signal between two grounds), excellent performance to more than 1400MHz was achieved.

Conclusiones

Una solución de contacto inalámbrico puede dar excelente un desempeño de alta frecuencia. Espaciamiento de sondas de señal-a-tierra y del material dieléctrico separando las sondas juegan un rol mayor par determinar la impedancia y banda ancha del trayecto de transmisión. En general, un diámetro mas constante de sonda y material dieléctrico mas firme separando las sondas dan menos cambios de impedancia en el trayecto de la señal y un mejor desempeño total de alta frecuencia.

Reemplazar el alambrado de fixture con una tarjeta de traducción permite al ingeniero de prueba un control mayor de las características de longitud e impedancia del trayecto de la señal a la unidad bajo prueba. Esto produce señales de prueba mas limpias, sin distorsión, y un desempeño de prueba mas alto.

X75-25 SERIES | 0.075 [1.91] X 3

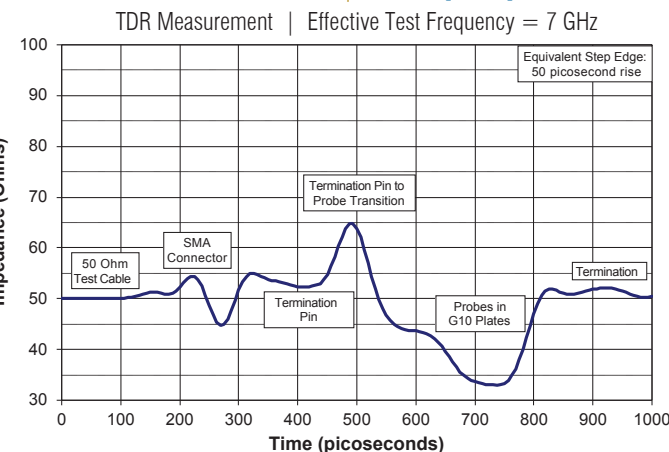


Figure 5: The TDR plot for the three-probe configuration shows a better match to the 50 Ohm test environment. This results in a higher bandwidth frequency response.

X75-25 SERIES | 0.075 [1.91] CENTERS

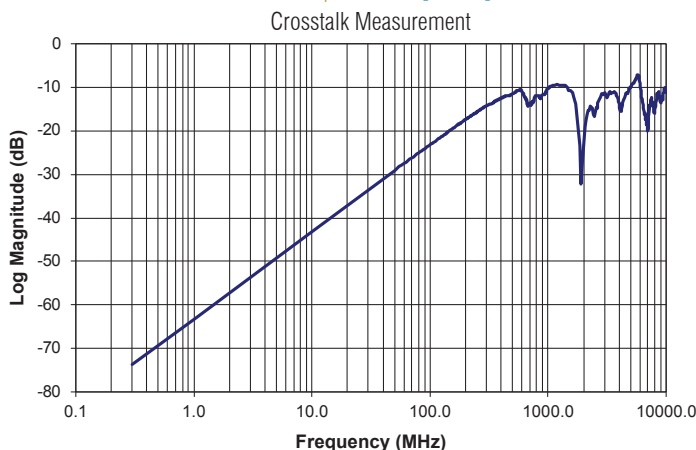
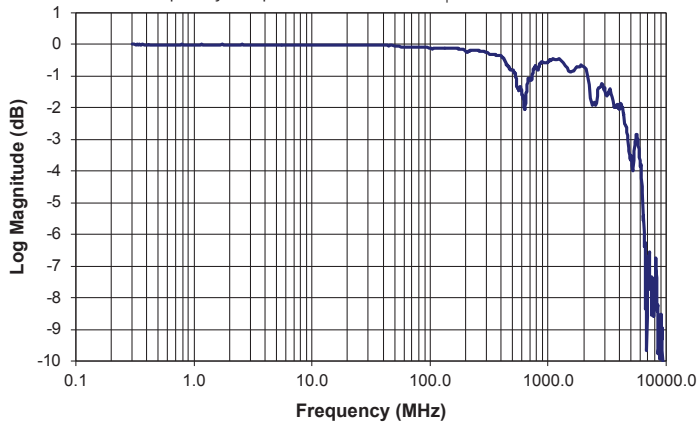


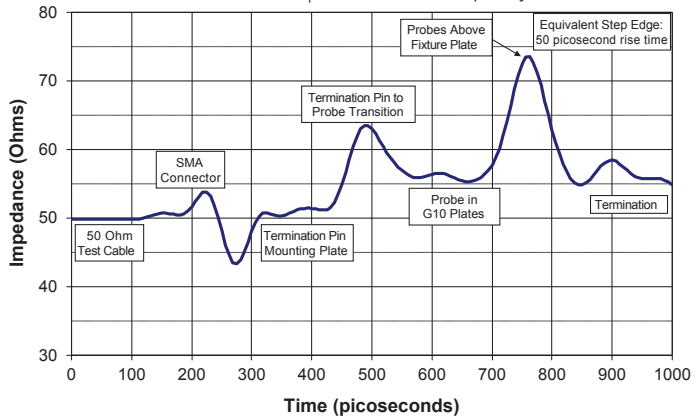
Figure 6: Crosstalk between two pairs of X75 probes on a 0.075 [1.91] grid.

Serie X50-25 inalámbrica**X50-25 SERIES | 0.050 [1.27] CENTERS**

Frequency Response Measurement | -1dB at 530 MHz

**X50-25 SERIES | 050 [1.27] CENTERS**

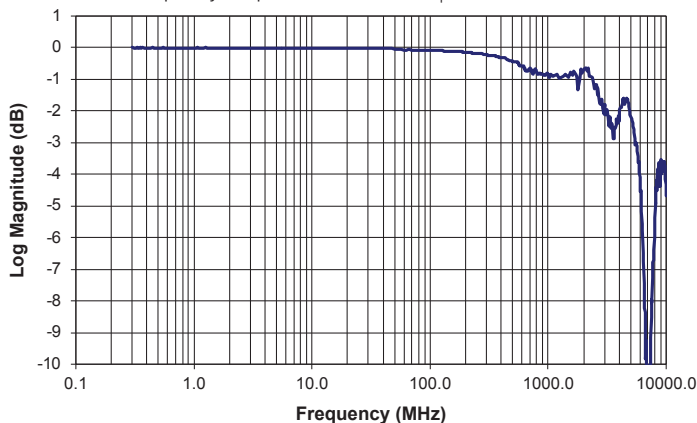
TDR Measurement | Effective Test Frequency = 7GHz



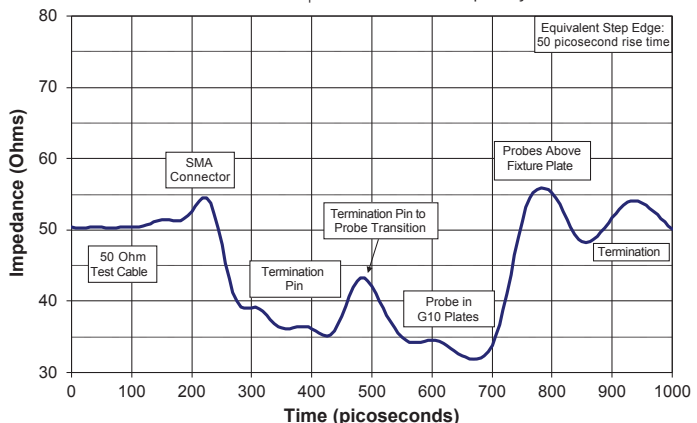
Two X50 wireless probes (signal and ground) on 0.050 [1.27] centers.

X50-25 SERIES | 0.050 [1.27] X3

Frequency Response Measurement | -1dB at 1800 MHz

**X50-25 SERIES | 0.050 [1.27] X3**

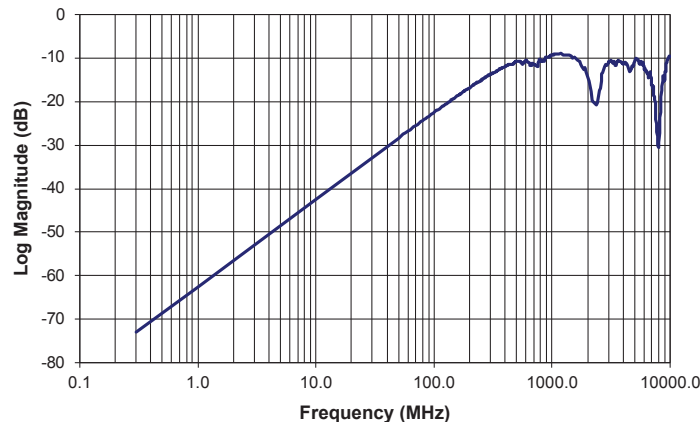
TDR Measurement | Effective Test Frequency = 7GHz



Three X50 wireless probes (ground-signal-ground) on 0.050 [1.27] centers.

X50-25 SERIES | 0.050 [1.27] CENTERS

Crosstalk Measurement

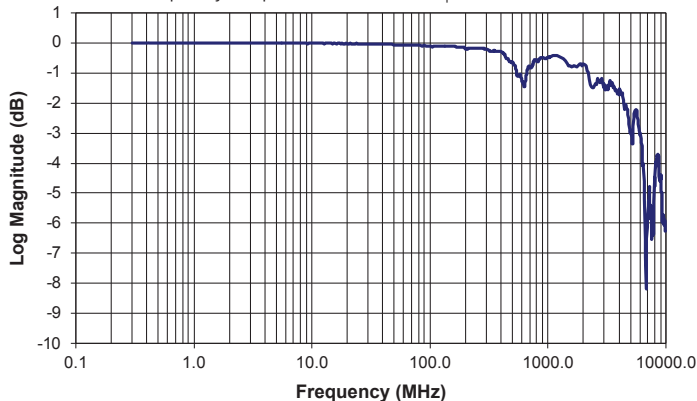


Cross talk for two pairs of X50 wireless probes on a 0.050 [1.27] grid.

Serie X39-25 inalámbrica

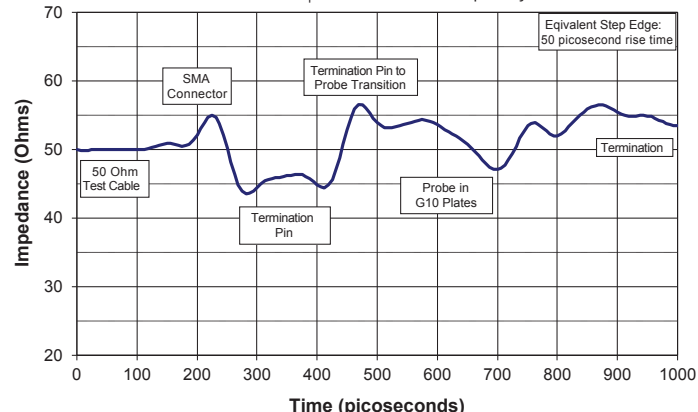
X39-25 SERIES | 0.039 [1.00] CENTERS

Frequency Response Measurement | -1dB at 540 MHz



X39-25 SERIES | 0.039 [1.00] CENTERS

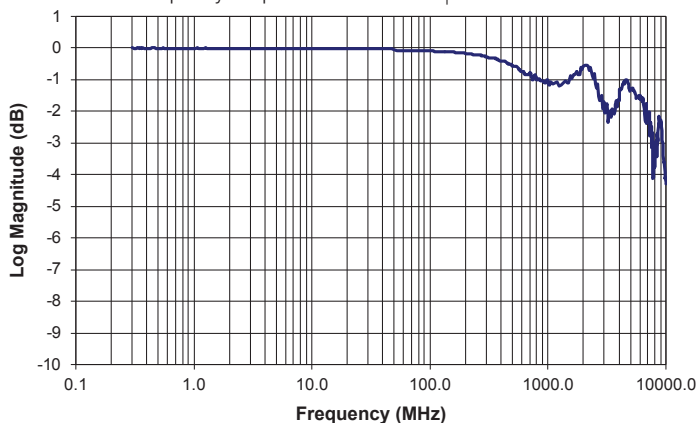
TDR Measurement | Effective Test Frequency = 7GHz



Two X39 wireless probes (signal and ground) on 0.039 [1.00] centers.

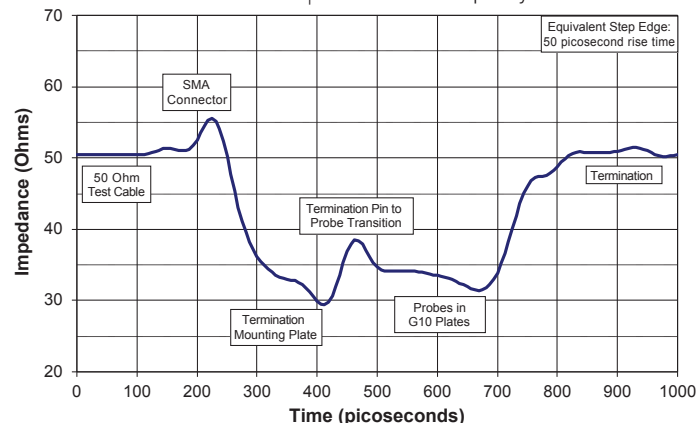
X39-25 SERIES | 0.039 [1.00] X3

Frequency Response Measurement | -1dB at 740 MHz



X39-25 SERIES | 0.039 [1.00] X3

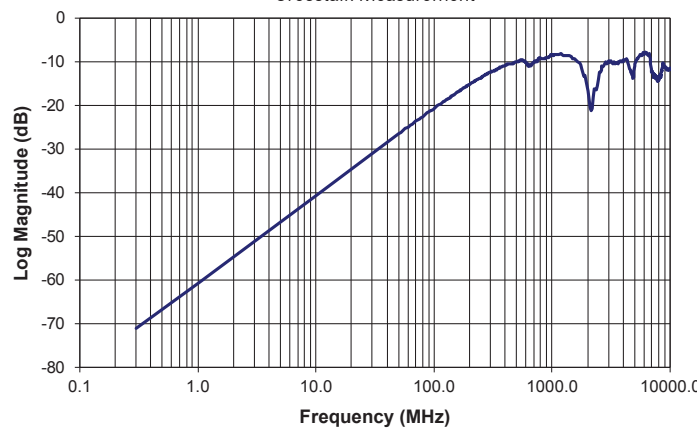
TDR Measurement | Effective Test Frequency = 7GHz



Three X39 wireless probes (ground-signal-ground) on 0.039 [1.00] centers.

X39-25 SERIES | 0.039 [1.00] CENTERS

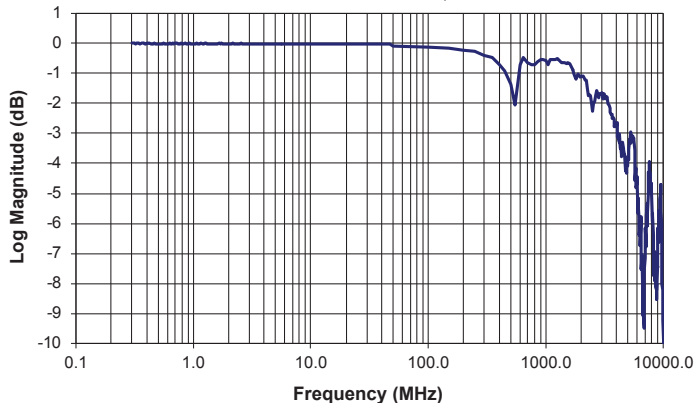
Crosstalk Measurement



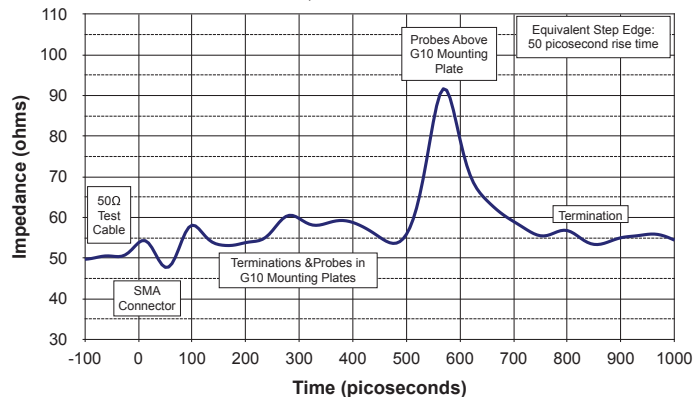
Crosstalk for two pairs of X39 wireless probes on a 0.039 [1.00] grid.

Serie X31-25 inalámbrica**X31-25 SERIES | 0.031 [0.80] CENTERS**

Frequency Response Measurement | -1dB at 500 MHz

**X31-25 SERIES | 0.031 [0.80] CENTERS**

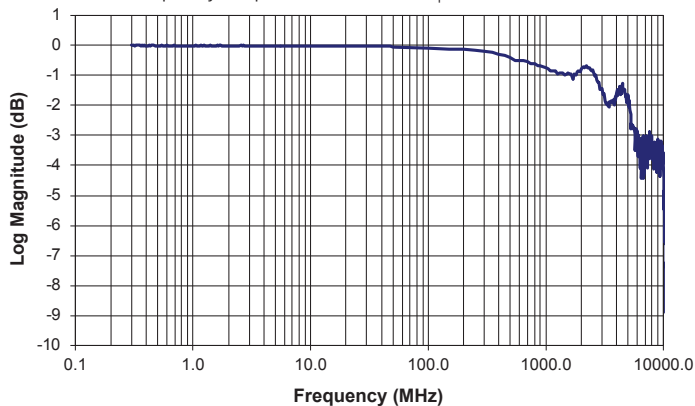
TDR Measurement | Effective Test Frequency = 7GHz



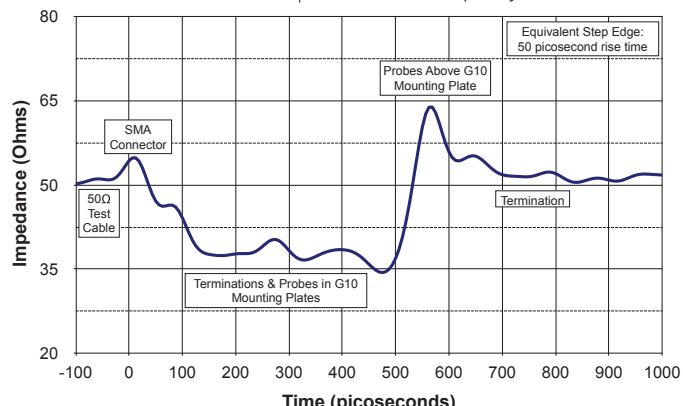
Two X31 wireless probes (signal and ground) on 0.031 [0.80] centers.

X31-25 SERIES | 0.031 [0.80] X3

Frequency Response Measurement | -1dB at 1700 MHz

**X31-25 SERIES | 0.031 [0.80] X3**

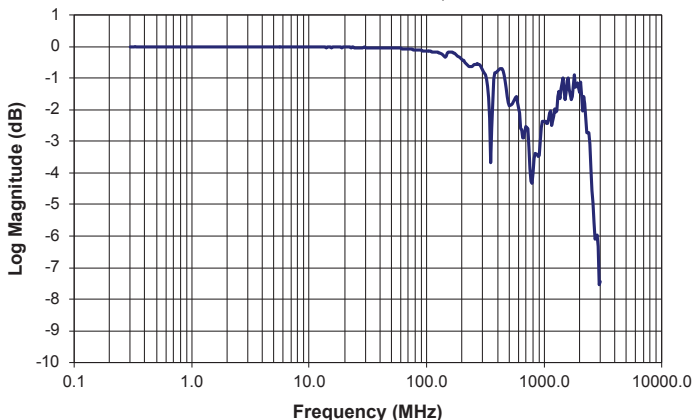
TDR Measurement | Effective Test Frequency = 7GHz



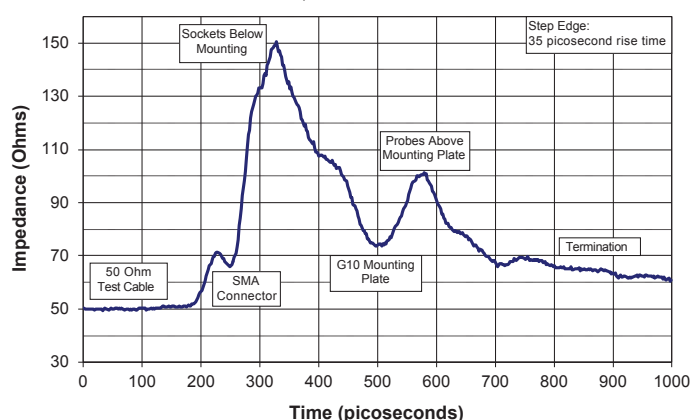
Three X31 wireless probes (ground-signal-ground) on 0.031 [0.80] centers.

Serie 100-25 inalámbrica**100-25 SERIES | 0.100 [2.54]**

Frequency Response Measurement | -1dB at 320 MHz

**100-25 SERIES | 0.100 [2.54]**

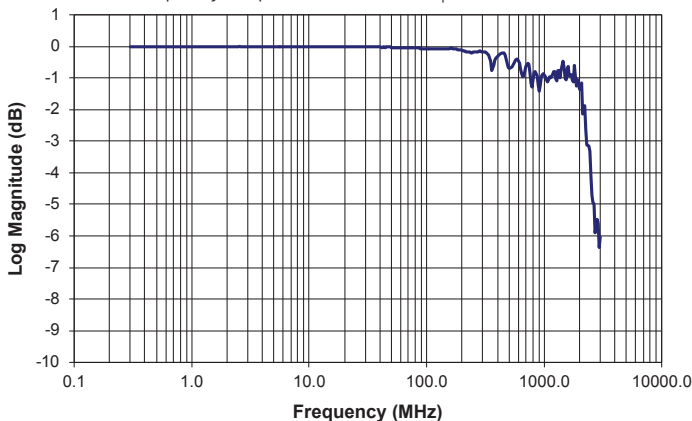
TDR Measurement | Effective Test Frequency = 10GHz



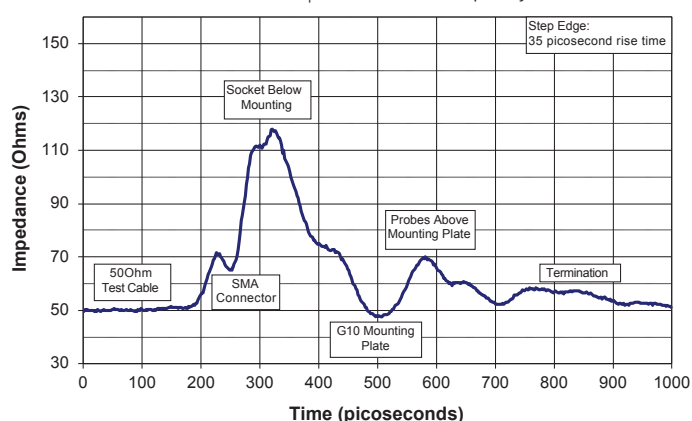
Two 100-25 Series wireless socket assemblies (signal and ground) on 0.100 [2.54] centers.

100-25 SERIES | 0.100 [2.54] X3

Frequency Response Measurement | -1dB at 770 MHz

**100-25 SERIES | 0.100 [2.54] X3**

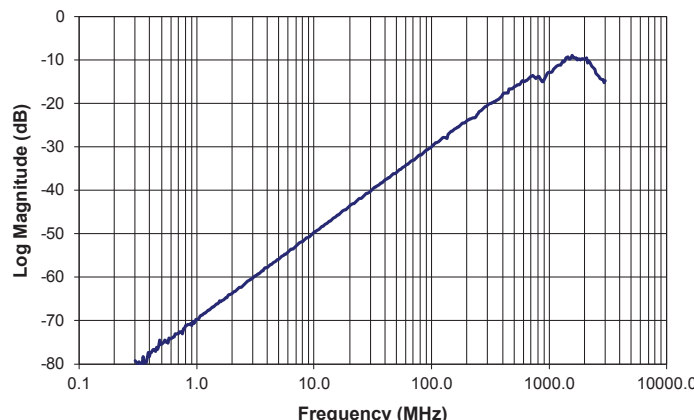
TDR Measurement | Effective Test Frequency = 7GHz



Three 100-25 Series wireless socket assemblies (ground-signal-ground) on 0.100 [2.54] centers.

100-25 SERIES | 0.100 [2.54] CENTERS

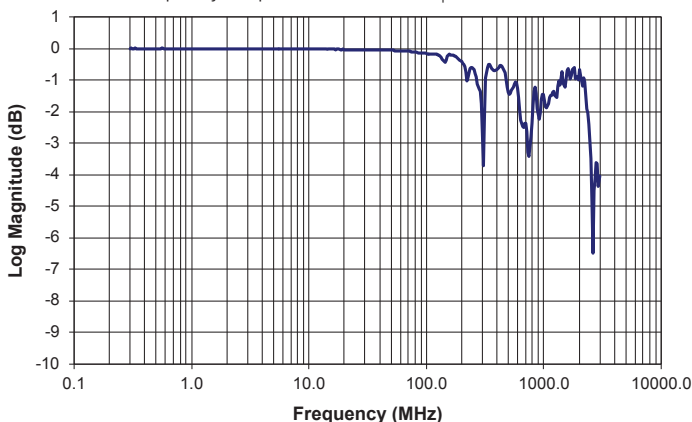
Crosstalk Measurement



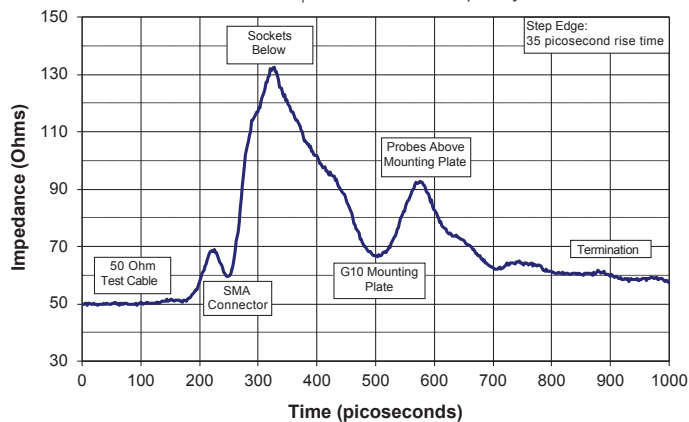
Crosstalk for two pairs of 100-25 Series wireless socket assemblies on a 0.100 [2.54] grid.

Serie 075-25 inalámbrica**075-25 SERIES | 0.075 [1.91] CENTERS**

Frequency Response Measurement | -1dB at 220 MHz

**075-25 SERIES | 0.075 [1.91] CENTERS**

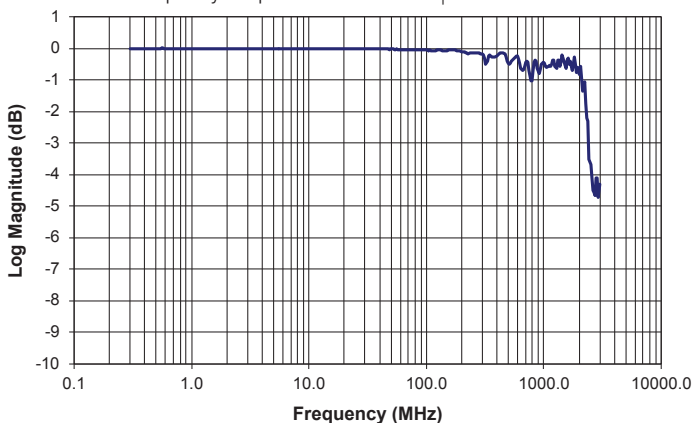
TDR Measurement | Effective Test Frequency = 10GHz



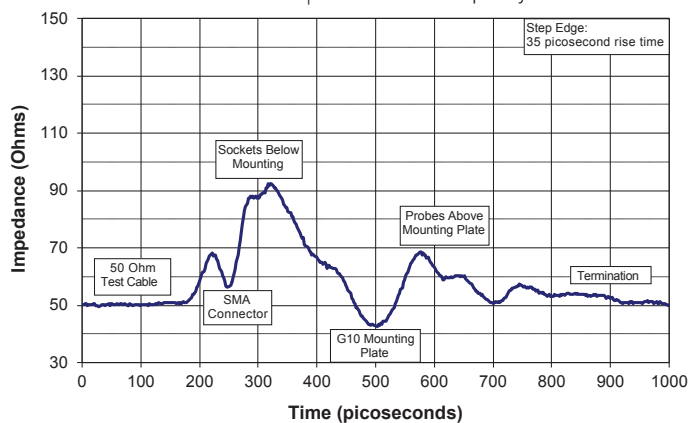
Two 075-25 Series wireless socket assemblies (signal and ground) on 0.075 [1.91] centers.

075-25 SERIES | 0.075 [1.91] X3

Frequency Response Measurement | -1dB at 770 MHz

**075-25 SERIES | 0.075 [1.91] X3**

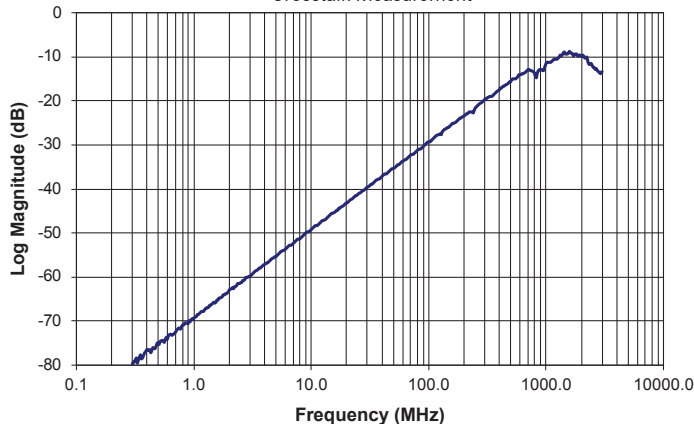
TDR Measurement | Effective Test Frequency = 7GHz



Three 075-25 Series wireless socket assemblies (ground-signal-ground) on 0.075 [1.91] centers.

075-25 SERIES | 0.075 [1.91] CENTERS

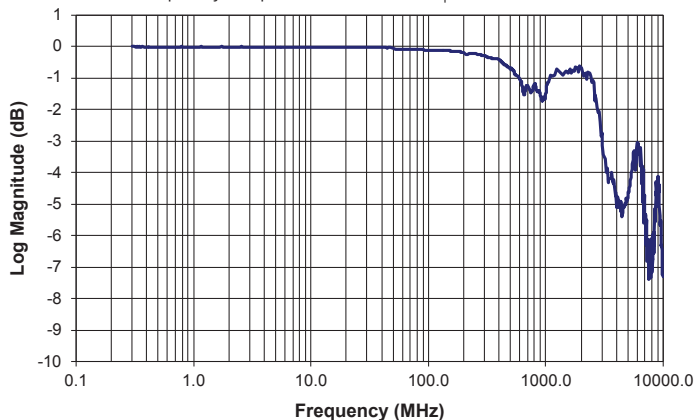
Crosstalk Measurement



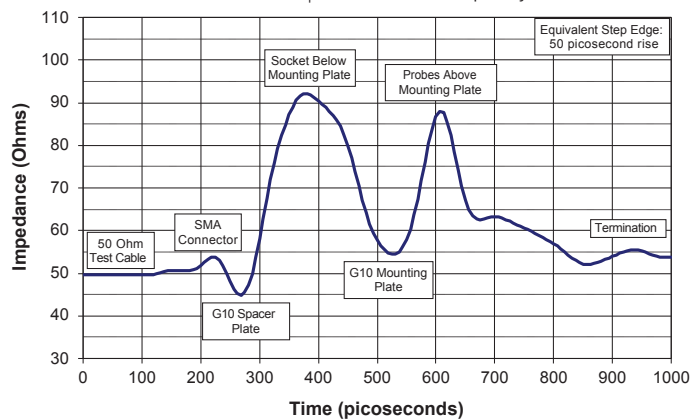
Crosstalk for two pairs of 075-25 Series wireless socket assemblies on a 0.075 [1.91] grid.

Serie 050-25 inalámbrica**050-25 SERIES | 0.050 [1.27] CENTERS**

Frequency Response Measurement | -1dB at 585 MHz

**050-25 SERIES | 0.050 [1.27] CENTERS**

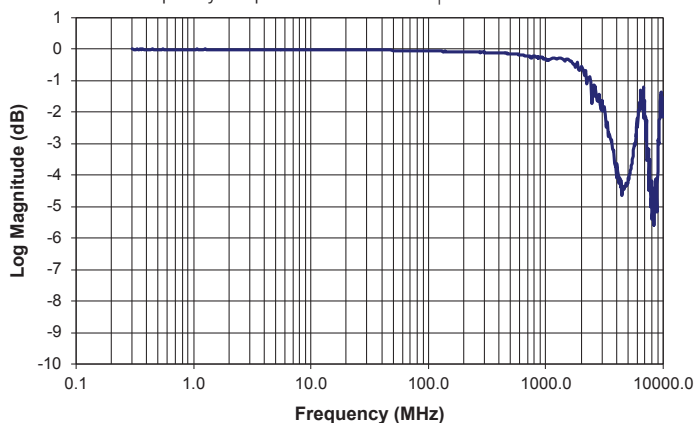
TDR Measurement | Effective Test Frequency = 7GHz



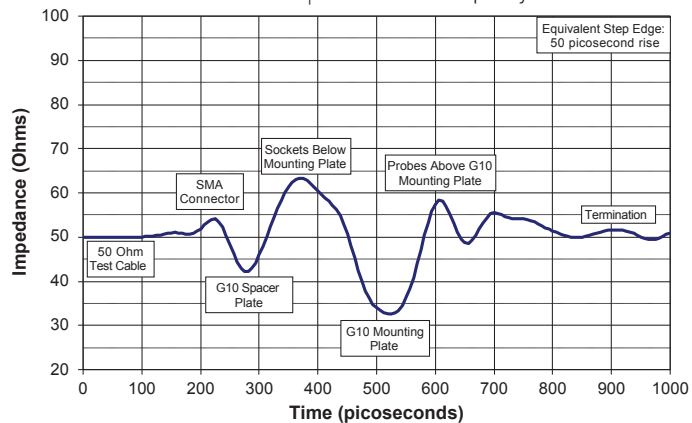
Two 050-25 Series wireless socket assemblies (signal and ground) on 0.050 [1.27] centers.

050-25 SERIES | 0.050 [1.27] X3

Frequency Response Measurement | -1dB at 2250 MHz

**050-25 SERIES | 0.050 [1.27] X3**

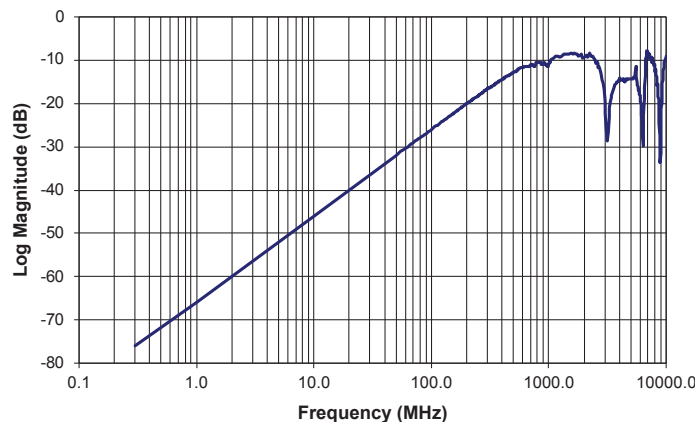
TDR Measurement | Effective Test Frequency = 7GHz



Three 050-25 wireless socket assemblies (ground-signal-ground) on 0.050 [1.27] centers.

050-25 SERIES | 0.050 [1.27] CENTERS

Crosstalk Measurement

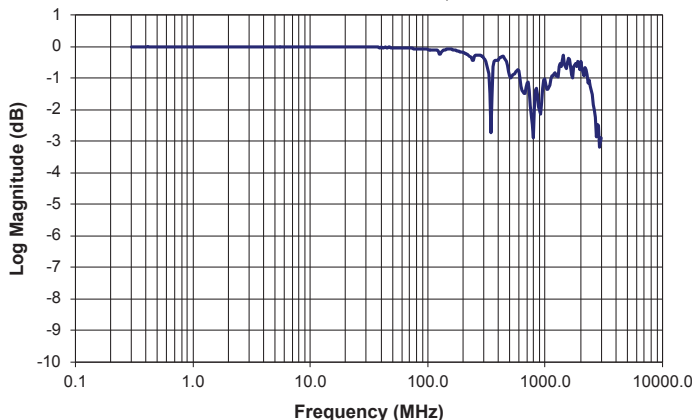


Crosstalk for two pairs of 050-25 wireless socket assemblies on a 0.050 [1.27] grid.

Serie 050-16 inalámbrica

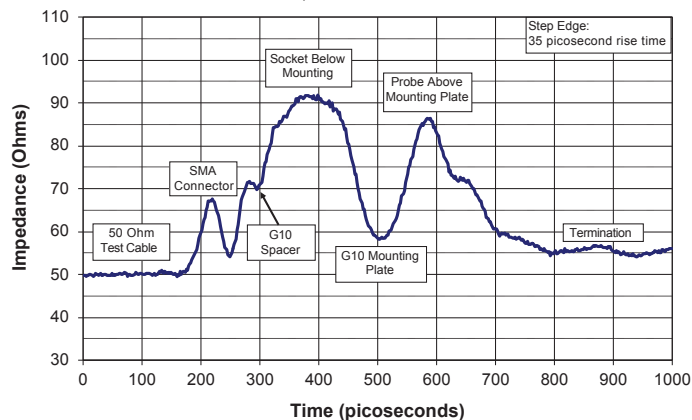
050-16 SERIES | 0.050 [1.27] CENTERS

Frequency Response Measurement | -1dB at 336 MHz



050-16 SERIES | 0.050 [1.27] CENTERS

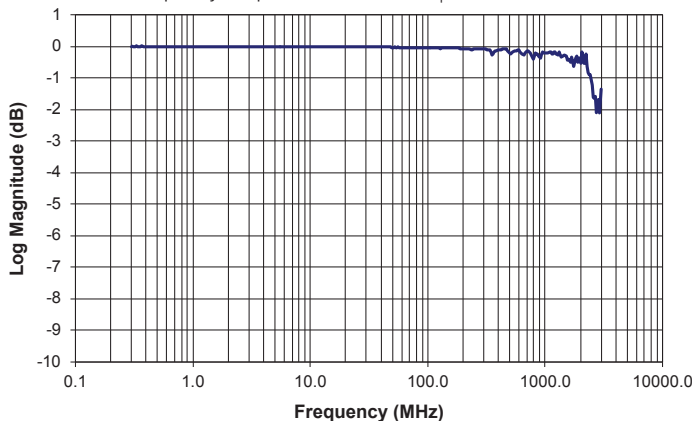
TDR Measurement | Effective Test Frequency = 10GHz



Two 050-16 wireless socket assemblies (signal and ground) on 0.050 [1.27] centers.

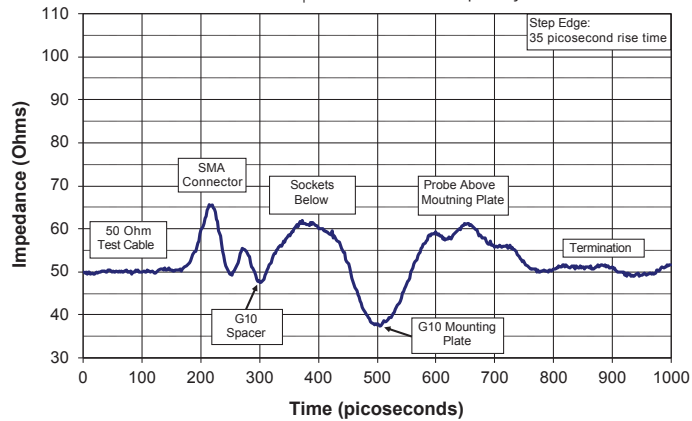
050-16 SERIES | 0.050 [1.27] X3

Frequency Response Measurement | -1dB at 2495 MHz



050-16 SERIES | 0.050 [1.27] X3

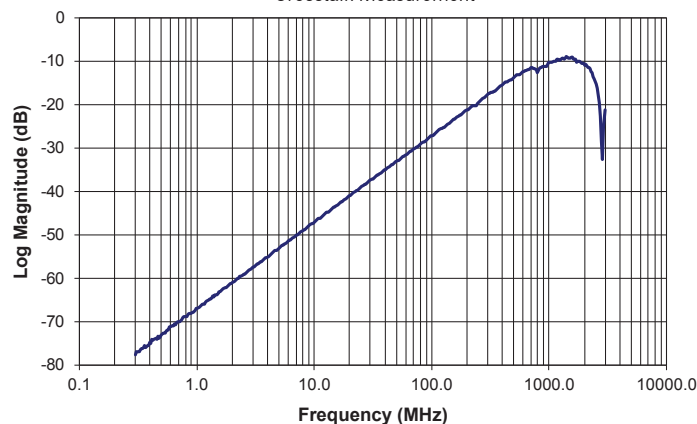
TDR Measurement | Effective Test Frequency = 10GHz



Three 050-16 wireless socket assemblies (ground-signal-ground) on 0.050 [1.27] centers.

050-16 SERIES | 0.050 [1.27] CENTERS

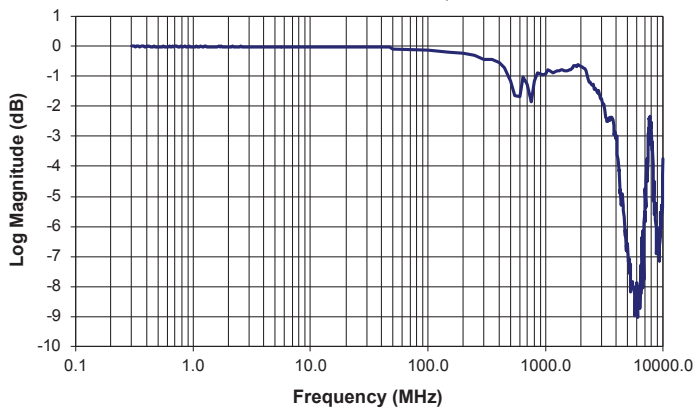
Crosstalk Measurement



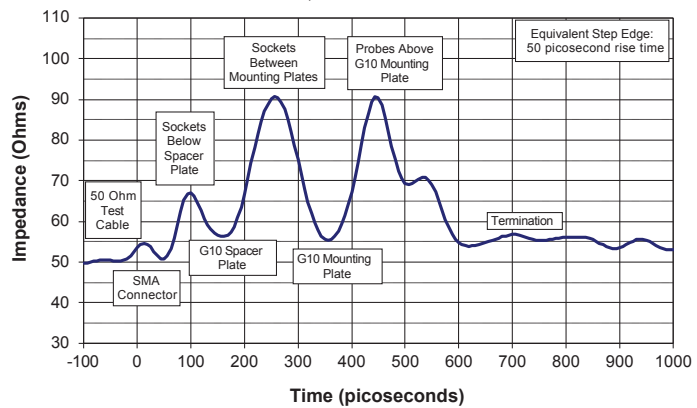
Crosstalk for two pairs of 050-16 wireless socket assemblies on a 0.050 [1.27] grid.

Serie X50-25 inalámbrica**039-25 SERIES | 0.039 [1.00] CENTERS**

Frequency Response Measurement | -1dB at 500 MHz

**039-25 SERIES | 0.039 [1.00] CENTERS**

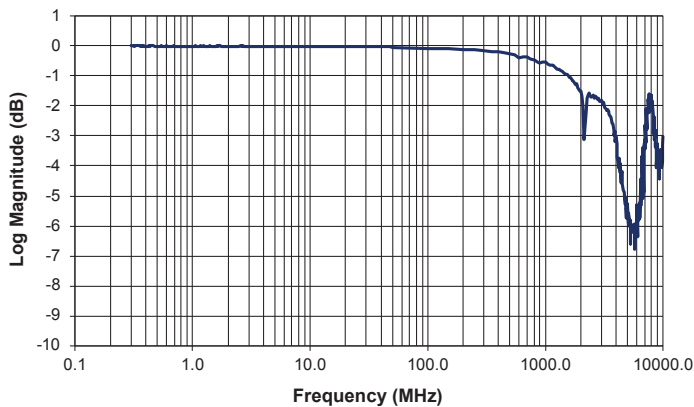
TDR Measurement | Effective Test Frequency = 7GHz



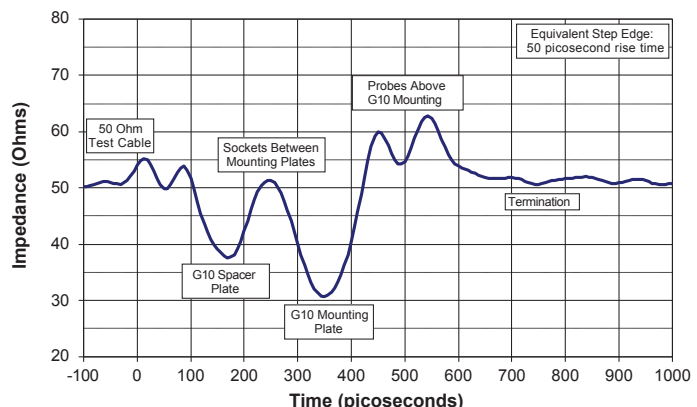
Two 039-25 wireless socket assemblies (signal and ground) on 0.039 [1.00] centers.

039-25 SERIES | 0.039 [1.00] X3

Frequency Response Measurement | -1dB at 1600 MHz

**039-25 SERIES | 0.039 [1.00] X3**

TDR Measurement | Effective Test Frequency = 7GHz



Three 039-25 wireless socket assemblies (ground-signal-ground) on 0.039 [1.00] centers.